

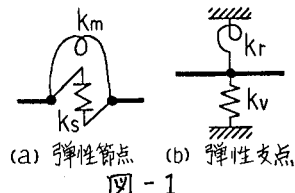
総合技術コンサルタント 正員 久保雅邦  
同上 正員 坂野俊一

### 1. まえがき

道路橋の走行荷重による動的応答を検討する上で、不完全な連続部や種々の支点条件を持つ構造形式を対象とする：とがある。単純桁の連続化部やゲルバーヒンジ部、あるいは弾性支承や回転拘束を伴う支点部を有する場合である。このような場合、一つの方法として、これを弾性節点・弾性支点を有する連続梁としてモデル化し、モード解析によって動的応答を求める：とができる。この際、連続梁の固有振動解析にあたっては、従来より動的3連モード法の適用<sup>1)</sup>、結合法<sup>2)</sup>、剛性コトリクス法<sup>3)</sup>等が用いられており。前二者が応力法、第3者が変形法を基本として不静定力や不静定位移を未知数とする連立方程式を導き、その係数行列を用いて固有値を求めるものである。従て、弾性節点や弾性支点が多い場合には、係数行列を求める：とが非常に煩雑になるとともに、境界条件によっては解析が困難な場合がある。本研究では、これに対して、固有値を表わす積分定数を未知数として係数行列を作り、マトリックス演算によって固有振動解析を行っている。解析手法が明解な：ヒゲラ、プログラム化が容易であり、一般化された弾性節点、弾性支点を有する連続梁の固有振動解析が可能である。

### 2. 固有振動解析の概要

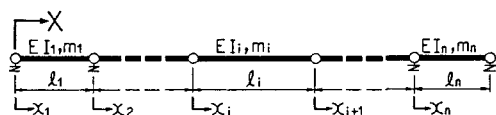
弾性節点とは、接続する部材端の相対変位に比例して断面力が伝達される節点で、モードシフトバネとせん断バネで表わし、弾性支点は、支点部の変形に比例した拘束を生ずる支点で、鉛直バネと回転バネで表わす。4つの弾性バネ( $K_v, K_s, K_m, K_r$ )は $[0, \infty]$ の値を持ち各々独立である。(図-1)



梁の動たわみ  $Y(t, x)$  を、一般座標  $q_n(t)$  と梁の固有度数  $\phi_n(x)$  を用いて表わす。

$$Y(t, x) = \sum_{n=1}^{\infty} q_n(t) \cdot \phi_n(x) \quad (1)$$

計算上  $\phi_n(x)$  は、各径間ごとの小座標  $x = x_i$  により



$l$ : 径間長 (m)

定義され、任意の径間ににおける第n次モード  $\phi_n(x)$  は

$m$ : 単位長さ重量 ( $t/m$ )

$$\phi_n(x) = A_n \cdot \cos \beta_n x + B_n \cdot \sin \beta_n x + C_n \cdot \cosh \beta_n x + D_n \cdot \sinh \beta_n x \quad (2)$$

$$\beta_n^4 = (m/gEI) \cdot \omega_n^2 \quad (3), \quad \lambda_n = \beta_n \cdot l \quad (4)$$

である。 $\omega_n$  は梁のn次固有振動数であり、積分定数  $A_n \sim D_n$  および係数  $\beta_n, \lambda_n$  は各径間ごとに求められる。説明上、径間番号とモード次数を表わす添字  $i$ 、 $n$  を適宜省略する。

梁部材における部材変位  $V(x) = \{\phi(x), \theta(x)\}^T$  と断面力  $F(x) = \{M(x), S(x)\}^T$  の力学的度様式を(2)式に適用すれば、部材の左右両端における変位と断面力のベクトル(部材端ベクトル)  $\mathbf{x}(0), \mathbf{x}(l)$  は、積分定数ベクトル  $C$  と固有振動数ベクトルあるいは係数行列  $A(0), A(l)$  を用いて表わされる。 $\{\quad\}$   $T$  は列ベクトルを示す。(図-3)

$$\mathbf{x}(0) = \begin{Bmatrix} V(0) \\ F(0) \end{Bmatrix}, \quad \mathbf{x}(l) = \begin{Bmatrix} V(l) \\ F(l) \end{Bmatrix} \quad (5)$$

$$C = \{A, B, C, D\}^T \quad (6)$$

$$\mathbf{x}(0) = A(0) \cdot C, \quad \mathbf{x}(l) = A(l) \cdot C \quad (7)$$

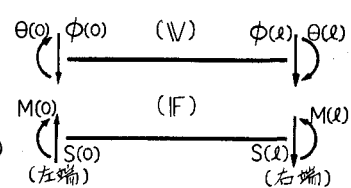


図-3

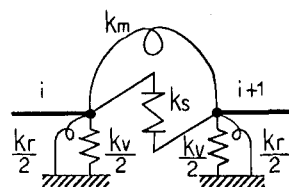


図-4

任意の節点や支点に接続している2つの径間  $i$ ,  $i+1$  の右端と左端<sup>(\*)</sup>の部材端ベクトルを用いて次式を作成。

$$\begin{cases} X(l) + X(0) \\ X(l) - X(0) \end{cases} = \begin{cases} V(l) + V(0) \\ F(l) + F(0) \\ V(l) - V(0) \\ F(l) - F(0) \end{cases} = \begin{bmatrix} A_1(l), A_1(0) \\ A_2(l), A_2(0) \\ A_1(l), -A_1(0) \\ A_2(l), -A_2(0) \end{bmatrix} \cdot \begin{cases} C_i \\ C_{i+1} \end{cases} \quad (8)$$

(\*) 組合せ  $i$  の右端  
と  $i+1$  の左端を  
用いる。

一方、部材端によりる釣り合い条件より次式が求められる。(図-4)

$$\begin{cases} F(l) - F(0) = K_1 \cdot \{V(l) + V(0)\} \\ F(l) + F(0) = K_2 \cdot \{V(l) - V(0)\} \end{cases} \quad (9)$$

(9)式と(8)式より2項へ用いてこれを縮少すると、2項はゼロベク

トルとなり、合わせて係数行列が  $K_1$ ,  $K_2$  によって縮少される。

$$\begin{cases} 0 \\ 0 \end{cases} = \begin{bmatrix} K_1 A_1(l) - A_2(l), K_1 A_1(0) + A_2(0) \\ A_2(l) - K_2 A_1(l), A_2(0) + K_2 A_1(0) \end{bmatrix} \cdot \begin{cases} C_i \\ C_{i+1} \end{cases} \quad (11)$$

以上を全ての節点・支点について行えば、全ての積分定数を未知数とする同次連立方程式が得られる。その係数行列を  $A_0$  とおき、 $\det(A_0) = 0$  を解いて固有振動数が得られ、再び連立方程式を解いて積分定数を求め、正規化条件を用いて固有振動数  $a = \frac{l^3 k_v}{2EI}$ ,  $b = \frac{l \cdot k_r}{2EI}$  中  $n(x)$  が求められる。(9)式で剛性係数を用いる形をしているが、ばね剛度が大きい場合、剛性係数を左辺に移し柔軟係数の形をとる: によって、あらゆる境界条件に対応できる。その判定は、規準化パラメータ  $a \sim d$  と 1.0 との大小関係によって自動的に行う。 $A_0$  は、(径間数  $\times$  4) 次のバンド行列(バンド幅 = 11)となる。

規準化パラメータ

$$a = \frac{l^3 k_v}{2EI}, \quad b = \frac{l \cdot k_r}{2EI}$$

$$c = \frac{l^3 (k_v + 4k_s)}{2EI}$$

$$d = \frac{l \cdot (k_r + 4k_m)}{2EI}$$

### 3. (計算例)

・単純桁における固有振動数  $\lambda$  の変化を  $a$ ,  $b$  の関係で図-5 に示す。  $b = 10^{-5} \sim 10^3$  の範囲で回転ばねの効果が見られる。  $\lambda_n$  に対しては、特に高次において  $a = 1 \sim b$  よりも  $a = 0$  の効果が卓越する。

・等2径間連続桁の中間支点上に弾性節点を有する場合を図-6 に示す。支点は単純支持 ( $a = \infty$ ,  $b = 0$ ) である。  $a = 1 \sim b \leq 10^1$  においてのみ連続梁としての効果が見られる。また  $b \leq 10^2$  でその効果は充分である。詳細な計算例および実際の道路橋における弾性節点・弾性支点の検討については講演時に発表する。

### 4. あとがき

従来の固有振動解析の方法に比べて、本研究での方法は手法が簡単であり、プログラム化に適するとと思われる。但し、行列式の計算においては“はさみ打ち法”を必要とし、固有値が接近する場合、適当な初期値とステップ値を設定する必要がある。尚、計算にあたっては当社の電算システム ACOS 350 を使用している。

### (参考文献)

- 1) 小堀・森本：不完全な剛結部を有する構造物の振動性状について、土木学会論文集第186号、1971.2
- 2) 平井：結合法による弾性支承を有する連続梁の動的解析、土木学会論文集第104号、1964.4
- 3) Hayashikawa, Watanabe ; Dynamic Behavior of Continuous Beams with Moving Loads, ASCE, EM1, 1981.2

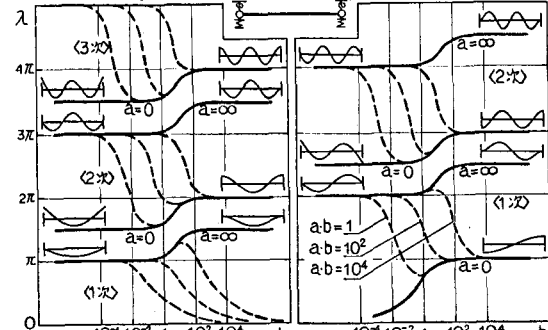


図-5

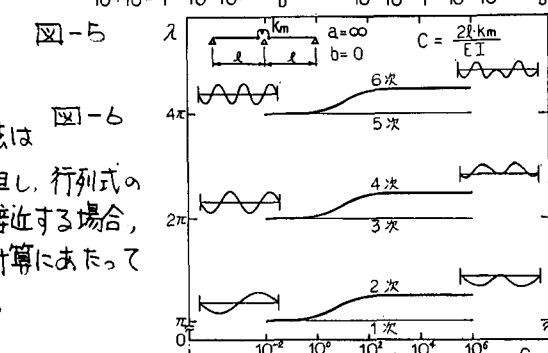


図-6